

架空送電線の相電流の不平衡を考慮したときの 架空地線電流と大地帰路電流に関する検討

森 武昭*・大作 成明**・大矢 征*

Calculating Currents in Over Head Ground Wires and Earth Return
Circuit under Unbalanced Three-Phase Current Conditions

Takeaki MORI, Nariaki OHSAKU and Susumu OHYA

Abstract

The induced voltage to a communication line from power line under the normal operating conditions has recently become an important problem. For the consideration of the induced voltage, the currents in overhead ground wires and earth return circuit must be exactly calculated.

This paper describes the calculating methods and the calculated results of these currents under unbalanced three-phase current conditions, and the following points are confirmed.

- (1) The influence of unbalanced three-phase current conditions is more remarkable for the three-phase double circuit line.
- (2) In general, these currents under unbalanced phase current conditions are larger than those under balanced conditions.

1. まえがき

直接接地系架空送電線では、非ねん架方式が採用されているため、送電線の各相導体と架空地線との離隔距離の不均衡により、架空地線に常時かなりの電流が流れている。このため、近接する通信線が常時の電磁誘導障害の影響を受ける可能性がある。従って、この常時誘導に関する対策法を検討するための前提となる正確で簡易な予測計算法の確立が重要な課題となっている。電磁環境問題が社会的にも重要な問題として指摘されるようになった今日において、このような常時誘導障害についていろいろな検討が始まられようとしている。そこで、著者らは、前報で、その基礎的検討として、相電流が平衡しているときの架空地線電流の予測計算について報告した^{1),2)}。しかし、実際の送電線では、各相の電流に不均衡を生じることがよくあり、瞬間的には、50% 近くになることもあると言われてい

る。そこで、本報告では、相電流の不平衡を考慮したときの架空地線電流と大地帰路電流の予測計算法(厳密式と近似式)について述べるとともに、計算結果についての考察を試みることにした。

2. 架空地線電流 I_g と大地帰路電流 I_e の計算式

実際の送電線では、各相電流に不均衡が生じることがよくある。そこで、 α, β を相電流の不均衡の程度を表す係数として用い、各相電流を、次のように表示するものとする。

$$I_a = I, I_b = \alpha \dot{a}^2 I, I_c = \beta \dot{a} I \quad (1)$$

$$\text{ここで, } \dot{a} = -\frac{1}{2} + j \frac{\sqrt{3}}{2} \quad (2)$$

実際の計算では、 α, β を 0.5~1.5 の範囲で変化させて計算を行なっている。なお、三相平衡のときは $\alpha = \beta = 1$ となる。

これらのこと考慮して、架空地線電流と大地帰路電流の計算法(厳密式と近似式)について、以下に述

平成2年9月28日受理

* 電気工学科

** 電気工学専攻大学院生

べる。

2.1 厳密式

〈1〉 3相1回線

図1のような3相1回線の導体配置において、導体記号を電流とインピーダンスの添字に用い、文献1)2)と同様に、2条の各地線の電流の和を $\dot{I}_g (= \dot{I}_{g1} + \dot{I}_{g2})$ とすると、

$$\dot{I}_g = -\{\dot{Z}_{g1a}\dot{I}_a + \dot{Z}_{g1b}\dot{I}_b + \dot{Z}_{g1c}\dot{I}_c\} / \{(\dot{Z}_{g1} + \dot{Z}_{g1g2})/2\} \quad (3)$$

となる。ここで、 \dot{Z}_{g1} は架空地線 g_1 の大地帰路自己インピーダンス、 \dot{Z}_{g1a} は g_1 と相導体 a の間の大地帰路相互インピーダンスを示している。以下、添字の使い方は同様に扱うものとする。また、大地帰路電流 \dot{I}_e は、1回線分の不平衡相電流の影響を受けるので、次式で求められる。

$$\dot{I}_e = \dot{I}_a + \dot{I}_b + \dot{I}_c + \dot{I}_g \quad (4)$$

なお、相電流が平衡しているときは、 $\dot{I}_a + \dot{I}_b + \dot{I}_c = 0$ であるから、 $\dot{I}_e = \dot{I}_g$ となる。

〈2〉 3相2回線

図2のような3相2回線の導体配置において、前項と同様に扱うと、架空地線電流は、次式で表される。

$$\dot{I}_g = -\{\dot{Z}_{g1a}\dot{I}_a + \dot{Z}_{g1b}\dot{I}_b + \dot{Z}_{g1c}\dot{I}_c + \dot{Z}_{g1a'}\dot{I}_a + \dot{Z}_{g1b'}\dot{I}_b + \dot{Z}_{g1c'}\dot{I}_c\} / \{(\dot{Z}_{g1} + \dot{Z}_{g1g2})/2\} \quad (5)$$

また、大地帰路電流 \dot{I}_e は、2回線分の不平衡相電流の影響を受けるので、次式のようになる。

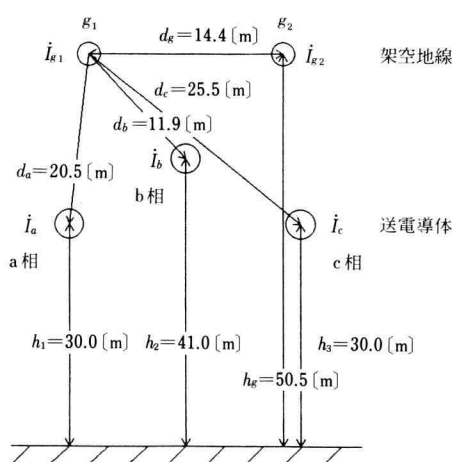


図1. 3相1回線送電線の導体配置

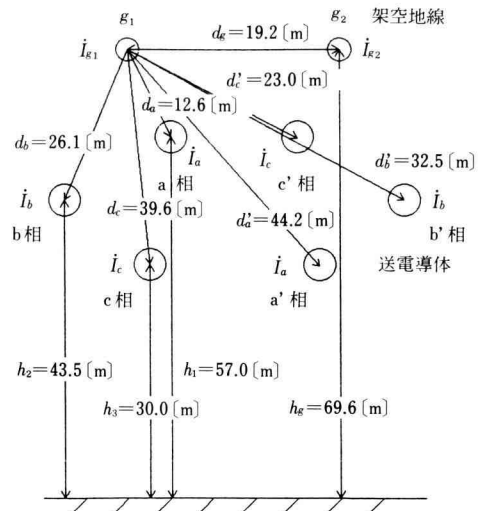


図2. 3相2回線送電線の導体配置

$$\dot{I}_e = 2(\dot{I}_a + \dot{I}_b + \dot{I}_c) + \dot{I}_g \quad (6)$$

ここで、相電流が平衡しているときは、3相1回線と同様に $\dot{I}_e = \dot{I}_g$ となる。

2.2 近似式

〈1〉 3相1回線

導体間距離が小さいことを考慮して、無限級数となる大地帰路インピーダンスの式³⁾の第1項のみを用いると、(3)式の近似式は次のように表すことができる。

$$\begin{aligned} \dot{I}_g = & -\left\{ \frac{\pi}{2}(1+\alpha\dot{a}^2+\beta\dot{a})+j(1+\alpha\dot{a}^2+\beta\dot{a}) \right. \\ & + j \ln \left[\left(\frac{2}{\gamma|k|} \right)^{2-(\alpha+\beta)} \left(\frac{d_b^\alpha d_c^\beta}{d_a^\alpha} \right) \right] \\ & \left. + \sqrt{3} \ln \left[\left(\frac{2}{\gamma|k|} \right)^{(\alpha-\beta)} \frac{d_c^\beta}{d_b^\alpha} \right] \right\} \times I \div \star \\ & \star \left\{ \frac{R_0}{2\omega} \times 10^4 + \frac{\pi}{2} + j \left(\frac{\mu_s}{4} + 1 + \right. \right. \\ & \left. \left. 2 \ln \frac{2}{\gamma|k|\sqrt{r_g d_g}} \right) \right\} \end{aligned} \quad (7)$$

なお、 R_0 : 架空地線1条当りの直流抵抗 [Ω/km]、 r_g : 架空地線の半径 [m]、 ω : 角周波数 [rad/s]、 σ : 大地導電率 [S/m]、 $|k| = \sqrt{\omega\sigma \times 4\pi \times 10^{-7}}$ 、 $\gamma = 1.7811$ (ペッセルの定数)、 μ_s : 比透磁率である。

ここで、厳密式(3)の方が、近似式(7)より簡単に見えるが、厳密式は無限積分または無限級数で表され

る式を用いるため、実際の計算は、近似式の方がはるかに簡単になっている。

また、 \dot{I}_e の近似式は次のように表せる。

$$\dot{I}_e = \{1 - (\alpha + \beta)/2 - j\sqrt{3}(\alpha - \beta)/2\}I + (7) \text{ 式 (8)}$$

〈2〉 3相2回線

前項と同様に扱うと、(5)式の近似式は次式で表される。

$$\begin{aligned} \dot{I}_g &= -\{\pi(1+\alpha\dot{a}^2+\beta\dot{a})+j2(1+\alpha\dot{a}^2+\beta\dot{a}) \\ &\quad +j2\ln\left[\left(\frac{2}{\gamma|k|}\right)^{2-(\alpha+\beta)}\left(\frac{1}{d_a d_{a'}}\right)\right. \\ &\quad \cdot\left.\left(\sqrt{d_b^\alpha d_{b'}^\alpha d_c^\beta d_{c'}^\beta}\right)\right] \\ &\quad +\sqrt{3}\ln\left[\left(\frac{2}{\gamma|k|}\right)^{2(\alpha-\beta)}\frac{d_c^\beta d_{c'}^\beta}{d_b^\alpha d_{b'}^\alpha}\right]\} \times I \div \star \\ &\star\left\{\frac{R_0}{2\omega} \times 10^4 + \frac{\pi}{2}\right. \\ &\quad \left.+ j\left(\frac{\mu_s}{4} + 1 + 2\ln\frac{2}{\gamma|k|\sqrt{r_g d_g}}\right)\right\} \end{aligned} \quad (9)$$

また、 \dot{I}_e の近似式は次のように表せる。

$$\dot{I}_e = \{2 - (\alpha + \beta) - j\sqrt{3}(\alpha - \beta)\}I + (9) \text{ 式 (10)}$$

3. 計算結果及び考察

図1の計算条件(表1の条件1に相当)について、 I_g と I_e を厳密式(3)(4)で求めた結果が図3と図4であり、図2の計算条件(表1の条件3に相当)について、 I_g と I_e を厳密式(5)(6)で求めた結果が図5と図6である。なお、他の計算条件(表1の条件2, 4)についても検討を行なったところ、同様の結果が得られることが確認されている。

これらの結果より、相電流の不平衡時には、不平衡電流の影響を強く受けることが明らかとなっている。即ち、 α と β が1.0より少し変化しただけで I_g と I_e は大きく変化している。また、図3, 4と図5, 6を比べても明らかのように3相2回線の方が I_g , I_e ともに不平衡の影響が顕著である。

ところで、3相1回線も3相2回線も、位相の影響で、相電流の平衡時よりも I_g や I_e が小さくなるケース(図7参照)がごくわずかの範囲ではあるが生じる。 I_g と I_e がそれぞれ最小となる条件は表2の通りである。この結果より、このような条件下における I_g と I_e は、 $\alpha=\beta=1$ の平衡時における値よりも非常に小さくなることが分かる。

表1. 計算条件^{1),2)}

| 計算条件 ケーズ | 3相1回線 | | 3相2回線 | |
|--|-----------------------------|-----------------------------|--------------------------------|-----------------------------|
| | 条件1 | 条件2 | 条件3 | 条件4 |
| 送電電圧 [kV] | 500 | 500 | 500 | 275 |
| 地線種類 | AS160 mm ² 2条 | AS160 mm ² 2条 | IACSR120 mm ² 2条 | AS100 mm ² 2条 |
| a [m] | 14.4 | 22.0 | 19.2 | 8.0 |
| b [m] | 8.0 | 14.0 | 19.2 | 8.0 |
| c [m] | 8.0 | 14.0 | 19.6 | 8.0 |
| d [m] | — | — | 20.0 | 8.0 |
| e [m] | 9.5 | 10.0 | 12.6 | 8.0 |
| f [m] | — | — | 13.5 | 8.0 |
| g [m] | 11.0 | 0.0 | 13.5 | 8.0 |
| h [m] | 30.0 | 30.0 | 30.0 | 15.0 |
| 地線半径: r_g [m] 地線の直流抵抗: R_0 [Ω/km] | 0.0105 0.166 | 0.0105 0.166 | 0.00875 0.293 | 0.0080 0.268 |
| 相電流の平衡時 I_g [A] | 83.7 | 103.2 | 54.0 | 36.4 |

$I = 1000$ [A], $\omega = 2\pi f = 100\pi$ [rad/s], 大地導電率: $\sigma = 0.01$ [S/m]

(注) 導体間距離 a , b , c …… h は、文献1), 2)を参照

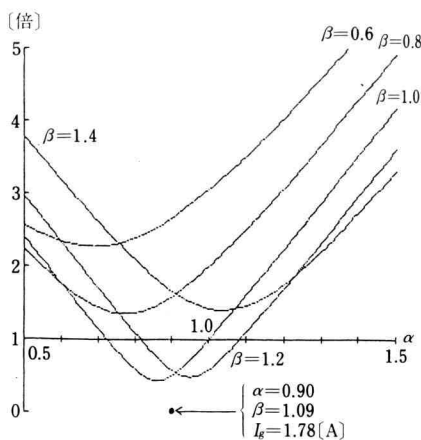


図3. 3相1回線における架空地線電流 I_g の特性
(計算条件1)

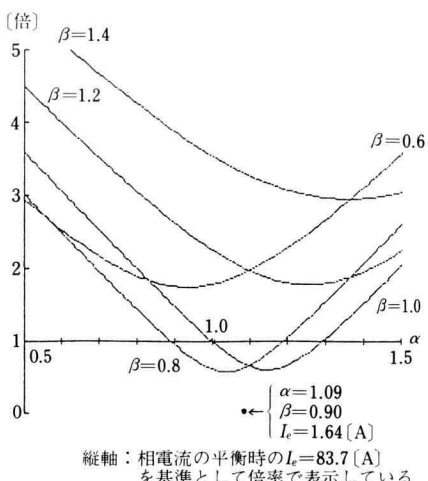


図4. 3相1回線における大地帰路電流 I_e の特性
(計算条件1)

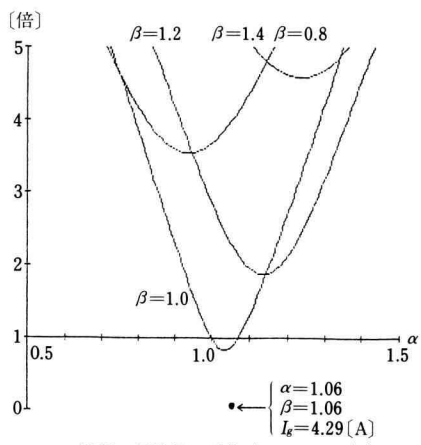


図5. 3相2回線における架空地線電流 I_g の特性
(計算条件3)

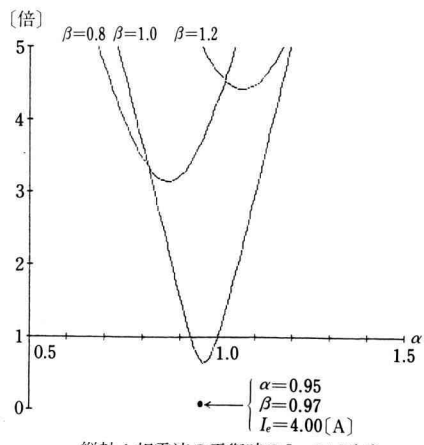


図6. 3相2回線における大地帰路電流 I_e の特性
(計算条件3)

以上のように、ごく特殊なケースを除いて、相電流のわずかな不平衡により、 I_g と I_e は一般に非常に大きくなるので、近傍通信線への電磁誘導障害等を検討する場合には十分注意する必要がある。

次に、3相1回線に関する近似式(7), (8)と3相2回線に関する近似式(9), (10)の妥当性を表1の条件について検討したところ以下のような結果が得られた。

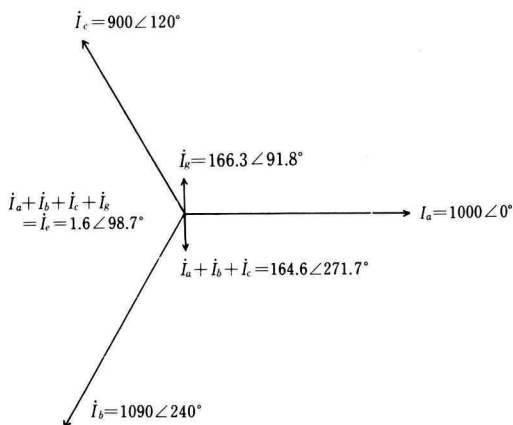
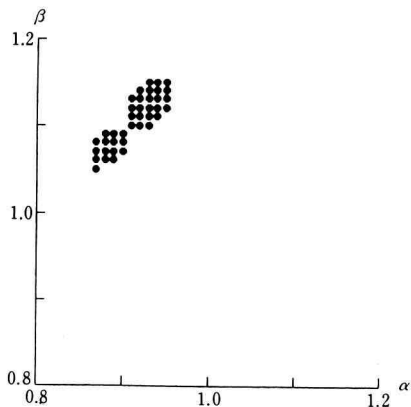
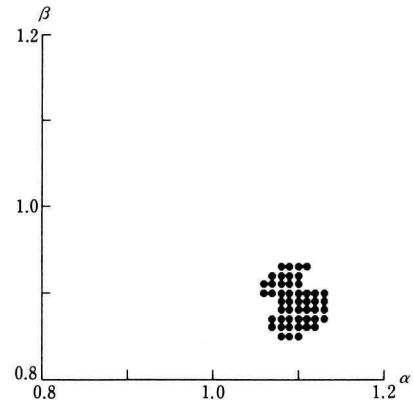
〈1〉 3相1回線

条件1: I_g に関しては、図8に示されるように、 $0.87 \leq \alpha \leq 0.95$ で $1.05 \leq \beta \leq 1.15$ の範囲において、 I_e に関しては、図9に示されるように、 $1.06 \leq \alpha \leq 1.13$ で $0.85 \leq \beta \leq 0.93$ の範囲において誤差が5%を超える結果となつた。

条件2: I_g に関しては、 $1.03 \leq \alpha \leq 1.25$ で $1.18 \leq \beta \leq 1.39$ の範囲において、 I_e に関しては、 $0.84 \leq \alpha \leq 0.86$ で

表2. 架空地線電流及び大地帰路電流の最小値

| 最小条件 ケース | 3相1回線 | | 3相2回線 | |
|----------------------|-------|-------|-------|------|
| | 条件1 | 条件2 | 条件3 | 条件4 |
| 平衡時の $I_g = I_e$ [A] | 83.7 | 103.2 | 54.0 | 36.4 |
| α | 0.90 | 1.12 | 1.06 | 1.04 |
| β | 1.09 | 1.26 | 1.06 | 1.03 |
| 不平衡時の I_g [A] | 1.78 | 2.10 | 4.29 | 4.02 |
| α | 1.09 | 0.84 | 0.95 | 0.96 |
| β | 0.90 | 0.79 | 0.97 | 0.98 |
| 不平衡時の I_e [A] | 1.64 | 2.20 | 4.00 | 2.83 |

図7. 計算条件1のフェーザ図 (I_e が最小となるケース)図8. 架空地線電流に関する厳密解に対する近似解の誤差が5%を超える α と β の領域 (計算条件1)図9. 大地帰路電流に関する厳密解に対する近似解の誤差が5%を超える α と β の領域 (計算条件1)

0.79 ≤ β ≤ 0.80 の範囲において誤差が5%を超える結果となった。

〈2〉 3相2回線

条件3: I_g に関しては、1.03 ≤ α ≤ 1.13 で 1.03 ≤ β ≤ 1.10 の範囲において、誤差が5%を超える結果となった。また、 I_e に関しては、全ての計算条件に対して5%未満の誤差であるという結果を得た。

条件4: I_g に関しては、1.04 ≤ α ≤ 1.06 で 1.03 ≤ β ≤ 1.04 の範囲において、誤差が5%を超える結果となった。また、 I_e に関しては、全ての計算条件に対して5%未満の誤差であるという結果を得た。

3相2回線での計算では、 I_e に関しては、全ての計算条件に対して5%未満の誤差であるという結果を得た。これは、(10)式の第2項は I_g の近似式による結果であるのに対して、第1項は相電流の不平衡の影響によるもので、厳密解と全く一致している上に、この項の方が影響が大きいためである。

ところで、図8、図9に示されたように、近似解の誤差が5%を超える範囲は、図3、図4からも明らかなように、 I_g や I_e が平衡時 ($\alpha=\beta=1$) に比べて非常に小さな値となる領域である。従って、これらの点を考慮すると、実際上は、近似式(7)～(10)を用いても差しつかえないものと判断できる。

4. あ と が き

相電流の不平衡時における架空地線電流 I_g と大地帰路電流 I_e について検討した結果、次の点が明らかと

なった。

(1) I_g , I_e ともに相電流の不平衡の影響を強く受け
る。

(2) 3相1回線と3相2回線では、後者の方が不平
衡の影響が大きい。

(3) 相電流の不平衡により、一般に架空地線電流と
大地帰路電流は平衡時のそれよりも大きくなる。

(4) 非常に限られた範囲ではあるが、相電流の不平
衡の割合によっては、位相が打ち消し合って、平衡時
の I_g や I_e よりも小さくなる特殊なケースが存在す
る。

(5) I_g と I_e を求めるための近似式は、 I_g や I_e が非
常に小さくなるごく一部の条件を除いては 5% 未満の

誤差であり、実用に供し得るものと判断できる。

文 献

- 1) 森・大矢：「架空送電線から通信線へ生じる常時誘導電圧の予測計算法に関する基礎的検討」，電気学会論文誌，B-109巻，7号，p. 291～298 (1989-7)
- 2) 森・大矢：「架空送電線から通信線へ生じる常時誘導電圧に関する基礎的検討」，神奈川工科大学研究報告，B 理工学編，13号，p. 121～128 (1989-3)
- 3) 酒井・森・大矢：「ノイズによる誤動作と対策」，日刊工業新聞社，p. 189～222 (1990-6)